

Relatório do Exercício Programa 3: Métodos de Monte Carlo - Quasi-Random

Erik Davino Vincent - BMAC - Turma 54
NUSP: 10736584

April 25, 2019



IME – USP

Contents

1	Introdução	2
1.1	Crítério de Parada	2
2	Gerador escolhido	2
2.1	Gráficos das distribuições	3
3	Método <i>Crud</i>	5
4	Método <i>Hit-or-Miss</i>	6
5	<i>Importance Sampling</i>	7
5.1	Escolha da $g(x)$	8
5.1.1	Definição do gerador	9
5.2	Resultados obtidos	9
6	<i>Control Variance</i>	10
7	Consideração final	11

1 Introdução

O seguinte texto tem por objetivo a análise de quatro métodos de Monte Carlo, utilizando geradores *Quasi-Random*, visando a comparação entre a eficiência deles e a de geradores *Pseudo-Aleatórios*, além do quanto são otimizados. Será discutido o tempo de computação de cada método, a comparação direta de seus resultados e a implementação para encontrar resultados bons, com erro $\leq 1\%$.

Os métodos serão aplicados para calcular a estimativa da integral da função, no intervalo $[0, 1]$, definida por:

$$f(x) = e^{-\alpha x} \cos \beta x$$

onde $\alpha = 0.10736584$, o meu número USP e $\beta = 0.50886257$, o meu número de RG.

1.1 Critério de Parada

A escolha do critério de parada foi simples: se o programa estimar o erro que eu quero e este for $\leq 1\%$, o programa interrompe o processo e devolve os resultados. Exatamente o mesmo critério utilizado para o EP 2.

2 Gerador escolhido

A primeira decisão a ser tomada foi o gerador *Quasi-Random* a ser utilizado. Encontrei uma boa biblioteca de geradores nos seguintes links: Quasi-Random-Sobol; Quasi-Random-Halton; Quasi-Random-VanDerCorput. (Cada um dos títulos anteriores é um link).

O gerador de sequências de Sobol me pareceu interessante no primeiro momento, pois seu *plotting* pode ser muito semelhante ao de um gerador *pseudo-aleatório* uniforme normal, além de ser capaz de ter diferentes 'caras', definidas por uma *seed*. Porém, o gerador que obtive era limitado a gerar sequências de no máximo $n = 40$ valores. Logo, na implementação fiz com que para $n > 40$ outra lista com $n - 40$ valores fosse gerada, de forma recursiva, e concatenada à lista original (vide algoritmo). Dessa forma, também gerei um efeito de aleatoriedade, pois fiz com que a *seed* fosse alterada para cada loop. Mas o problema que surgiu por essa implementação foi o tempo demasiadamente longo para a geração das listas, e consequentemente do cálculo para resolver a integral e achar n suficientemente grande para um erro $\epsilon < 1\%$.

Para o método *Crud*, utilizando as sequências de Sobol, obtive os seguintes resultados, para encontrar $\epsilon < 1\%$:

Tempo de computação: 96 segundos.

$\epsilon = 0.10499686985947774\%$ (lembrando que ϵ é a estimativa do erro, assumindo distribuição normal).

Variância amostral = 0.16626400498125143.

$n = 10000$ (lembrando que n cresce a uma taxa de 10 vezes).

$\hat{\gamma} = 0.7838860121075741$ (lembrando que $\hat{\gamma}$ é a estimativa da integral de $f(x)$).

Como podemos ver o resultado é até mesmo pior do que vemos para uma distribuição *pseudo-aleatória* uniforme, em termos de tempo de computação (para encontrar $\epsilon < 1\%$):

Tempo de computação: 0.240 segundos.

$\epsilon = 0.4822873755308176\%$ (lembrando que ϵ é a estimativa do erro, assumindo distribuição normal).

Variância amostral = 0.16626400498125143.

$n = 46656$ (lembrando que n cresce a uma taxa de $2\sqrt{10}$ vezes).

$\hat{\gamma} = 0.7824057647774996$ (lembrando que $\hat{\gamma}$ é a estimativa da integral de $f(x)$).

Por tal razão, fiz o mesmo teste para uma sequência de *VanDerCorput*, e os resultados foram tão bons, que utilizei a sequência para o resto dos métodos. Vejamos os resultados (para encontrar $\epsilon < 1\%$):

Tempo de computação: 0.371 segundos.

$\epsilon = 0.4814989332265667\%$ (lembrando que ϵ é a estimação do erro, assumindo distribuição normal).

Variância amostral = 0.16313370287435794.

$n = 46656$ (lembrando que n cresce a uma taxa de $2\sqrt{10}$ vezes).

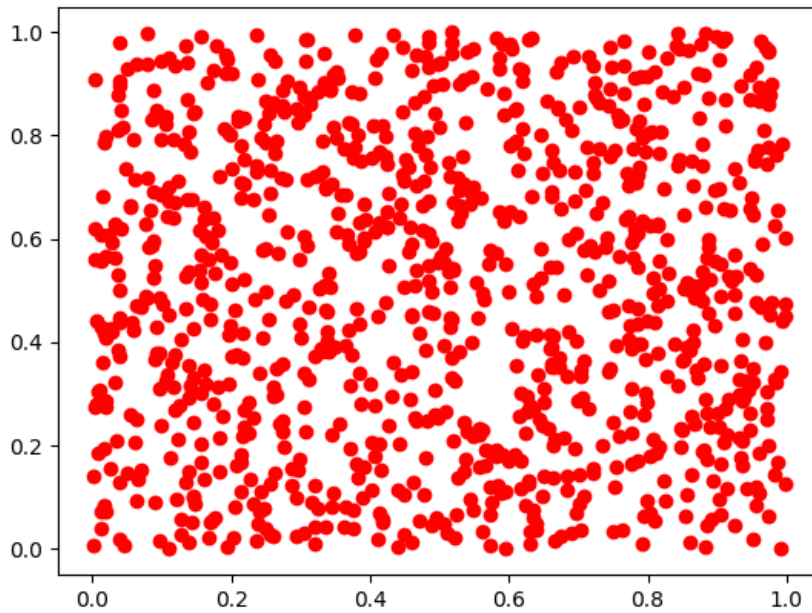
$\hat{\gamma} = 0.7824488038971255$ (lembrando que $\hat{\gamma}$ é a estimação da integral de $f(x)$).

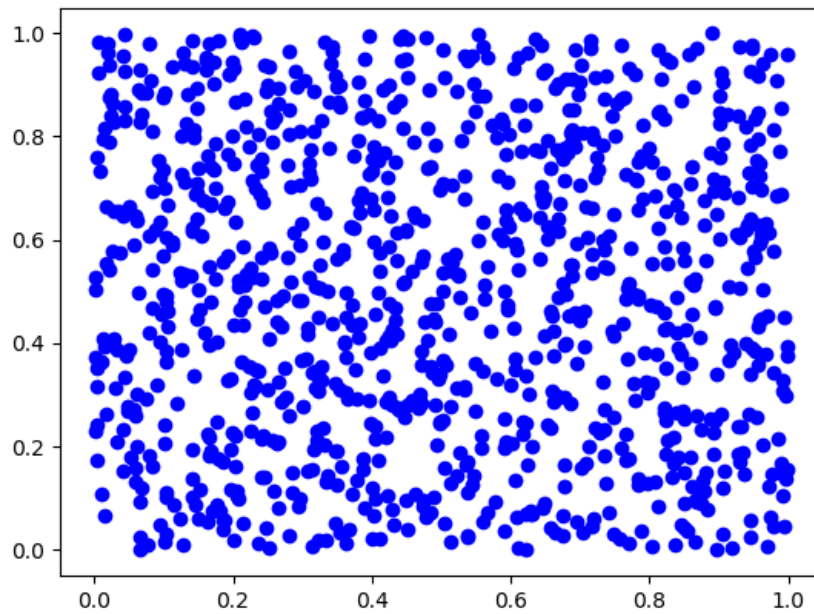
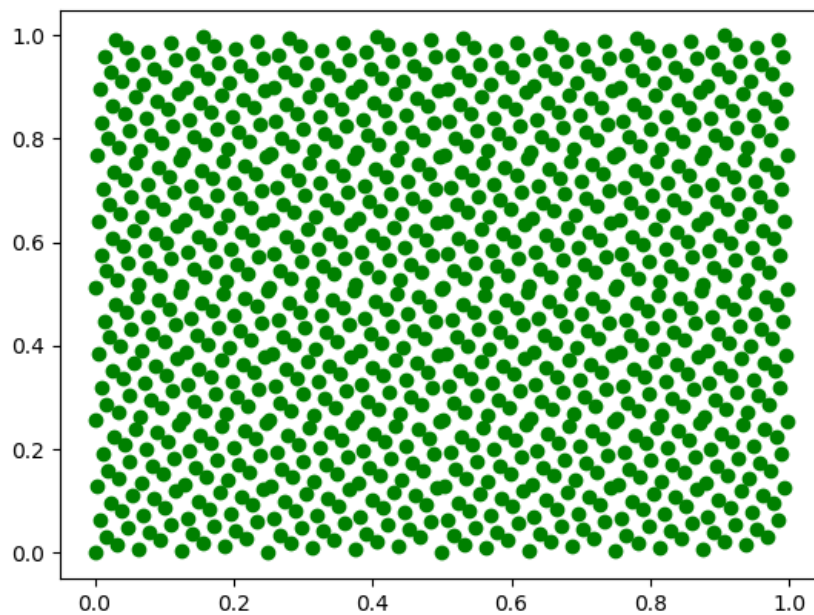
Os resultados não são melhores do que da uniforme, para esse n , porém são muito semelhantes, e fixos para dados n , uma vez que a sequência é sempre gerada da mesma maneira. Isso pode ser uma vantagem em relação ao gerador uniforme, uma vez que não possui aleatoriedade nos resultados. Para dado n , sempre terei valores garantidos.

2.1 Gráficos das distribuições

Antes de prosseguirmos, vejamos abaixo as distribuições/seqüências mencionadas acima, em uma área 1x1:

UNIFORME:



SOBOL:**VANDERCORPUT:**

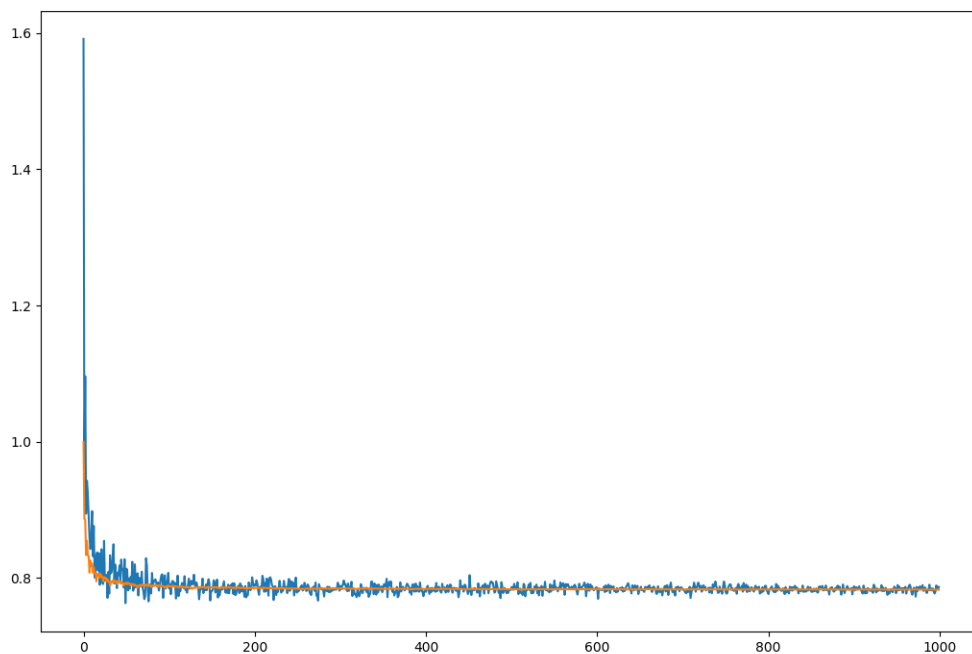
Como vemos, o gerador de Sobol e uniforme praticamente não apresentam diferenças notáveis. Além disso, vemos como o VanDerCorput possui distribuição muito bem comportada, o que, creio eu, permite um cálculo muito mais preciso, especialmente para o caso do *Hit-Or-Miss*. Verificaremos isso mais a frente.

3 Método *Crud*

Em 2, praticamente cobrimos todo o básico para o método *Crud*. Em termos de implementação, é idêntica a do EP 2, porém o gerador *quasi-random* foi utilizado. Resta então fazer uma análise mais regrada, em termos de medidas, para qual gerador resulta em convergência mais rápida para $\hat{\gamma}$. Para isso, analisemos os gráficos:

Valor de $\hat{\gamma}$ até $n = 1000$:

laranja: *quasi-random*; azul: uniforme.



Como podemos ver, o gerador *quasi-random* leva, por pouco, $\hat{\gamma}$ para o seu valor final mais rapidamente. Isso é, para um n menor, o *gamma quasi-random* está mais próximo do valor real da integral; ele converge mais rápido. Além disso ele é estável, diferente do aleatório uniforme, o que permite que mais vezes, o valor de $\hat{\gamma}$ esteja correto. De certa forma, a probabilidade do erro estar correto, por ser estimado, é maior. Isso significa que, pelo menos para esse método, o gerador *quasi-aleatório* aumenta a eficiência. Não precisamos nos preocupar tanto com tempo de computação, uma vez que a convergência é mais rápida, e o tamanho de n pode ser menor, para uma mesma precisão (ou até melhor).

4 Método *Hit-or-Miss*

A implementação utilizada foi a mesma que a do EP 2, porém, com o gerador aleatório trocado por um *quasi-random* VanDerCorput. vejamos os resultados obtidos:
(Para encontrar erro $\epsilon < 1\%$)

Uniforme:

Tempo de computação: 0.132 segundos.

$\epsilon = 0.6818756060403957\%$ (lembrando que ϵ é a estimação do erro, assumindo distribuição normal).

Variância amostral = 0.002648060605982119.

$n = 24300$. (lembrando que n cresce a uma taxa de $2\sqrt{10}$ vezes).

$\hat{\gamma} = 0.7821399176954732$ (lembrando que $\hat{\gamma}$ é a estimação da integral de $f(x)$).

VanDerCorput:

Tempo de computação: 0.209 segundos.

$\epsilon = 0.6816896770211912\%$ (lembrando que ϵ é a estimação do erro, assumindo distribuição normal).

Variância amostral = 0.0026473385515386064.

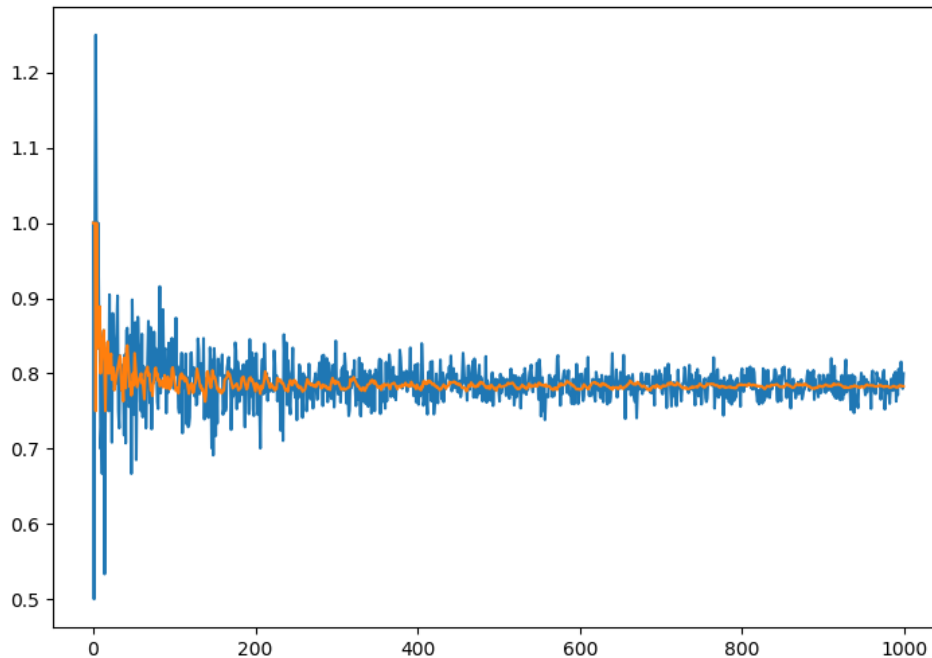
$n = 24300$. (lembrando que n cresce a uma taxa de $2\sqrt{10}$ vezes).

$\hat{\gamma} = 0.7823045267489712$ (lembrando que $\hat{\gamma}$ é a estimação da integral de $f(x)$).

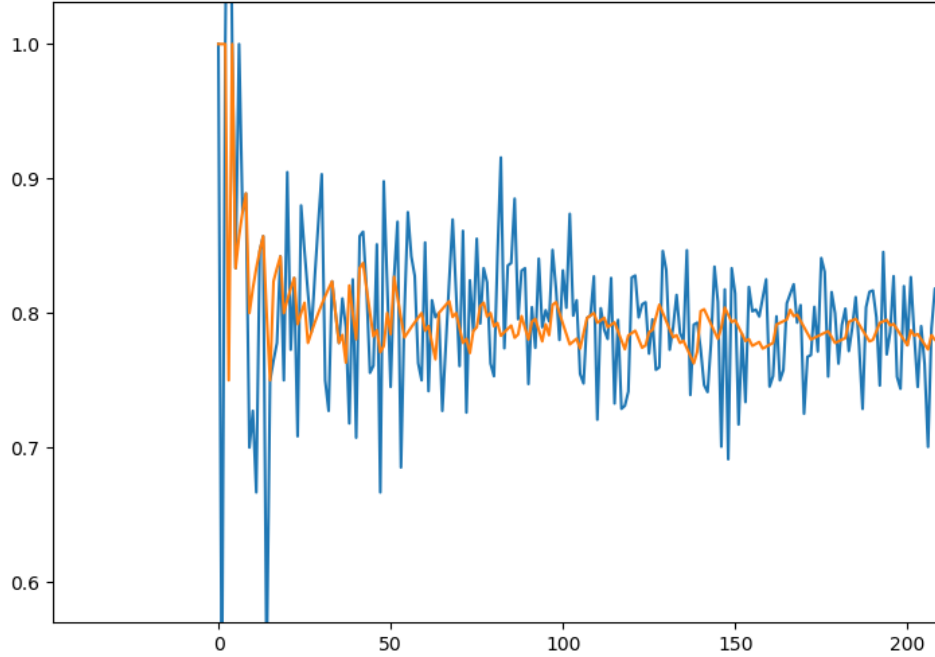
Vemos novamente resultados muito semelhantes entre as distribuições, com a opção *quasi-random* apresentando erro e variância amostral menores do que a opção uniforme aleatória, com única desvantagem o tempo de computação levemente maior. Porém, para n menor, vemos que a diferença de eficiência entre os métodos é ainda maior. Vejamos melhor com um gráfico:

Valor de $\hat{\gamma}$ até $n = 1000$:

laranja: *quasi-random*; azul: uniforme.



A primeira coisa que podemos notar é que ambos os gráficos oscilam muito, e de forma decrescente. Isso é esperado do método, pois ele possui menos informações sobre $f(x)$. Diferente do gráfico na 3, vemos que a convergência se trata menos de qual 'chega' mais rápido (decai mais rapidamente) para o valor real da integral, mas sim de qual oscila menos, conforme chega mais próximo do valor real. Como podemos ver, a linha que representa o método pelo gerador *quasi-random* oscila muito menos, o que nos permite, para cada n , ter mais certeza de que $\hat{\gamma}$ está fato mais próximos de γ . Vemos que essa diferença é ainda mais forte para n menor. Vejamos um *zoom* do gráfico acima, onde n é pequeno:



5 Importance Sampling

Esse foi o método que mais sofreu modificações, porém não tao grandes. Primeiramente, não há geradores *quasi-random* para todas as distribuições, logo, tive que criar a minha própria distribuição. De resto, a implementação é a mesma que a do EP 2.

O método em que me baseei para criação de geradores com distribuição de densidade de probabilidade aleatória para uma função $g(x)$ é feito da seguinte forma:

Seja $g(x)$ função integrável, tal que $G(x) = \int g(x)dx$, distribuição de densidade acumulada; (1)

Se $G^{-1}(x)$ existe, e $x_i \sim U[0, 1]$, então: (2)

$u_i = G^{-1}(x_i) \Rightarrow u_i \sim g(x)$ (3)

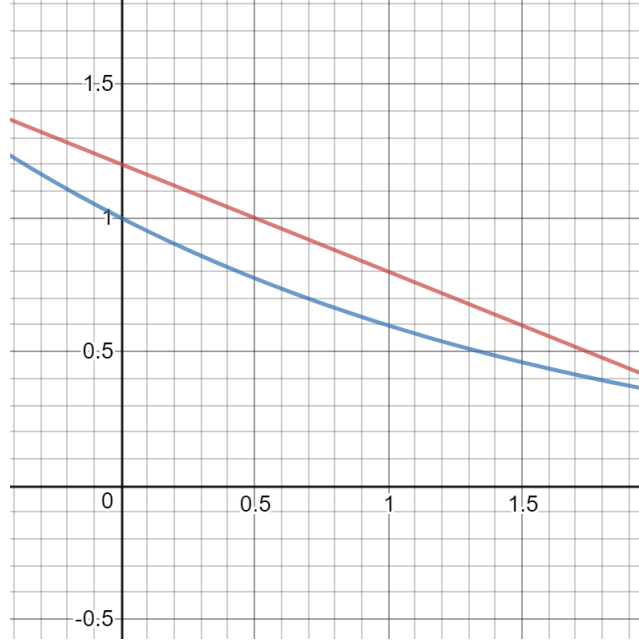
Como não estamos utilizando uma distribuição uniforme, e a *quasi-random VanDerCorput* simula bem uma uniforme, basta substituir $x_i \sim U[0, 1]$ por $x_i \sim VanDerCorput$, obtendo uma distribuição *quasi-random*, com 'cara' de $g(x)$.

5.1 Escolha da $g(x)$

Dessa vez, a escolha de $g(x)$ foi limitada a funções integráveis, e que as integrais fossem inversíveis. Não utilizei a distribuição beta, portanto. Ao invés disso, como a minha curva convenientemente se assemelha muito a uma reta, escolhi uma reta que passasse pelos pontos $(0, f(0))$ e $(1, f(1))$. A reta encontrada foi $g(x) = -0.40228x + 1$. Vejamos o gráfico:



Porém, para essa reta ser uma distribuição de probabilidade em $[0, 1]$, vale notar que $G(x)|_0^1 = 1$. O resultado que obtive primeiramente foi $G(x) = x - 0.20114x^2$, onde $G(x)|_0^1 = 0.79886$. Para corrigir esse problema, somei ao valor obtido dessa integração o valor suficiente para resultar em 1, que era 0.20114, à $g(x)$. Logo, minha $g(x)$ final ficou $g(x) = -0.40228x + 1.20114$, com $G(x) = 1.20114x - 0.20114x^2$. Vejamos o gráfico na página seguinte:



5.1.1 Definição do gerador

Com $g(x)$ e $G(x)$ definidas, bastava então criar o gerador *quasi-random*. Para isso, primeiramente defini com a ajuda do *Wolframalpha*, $G^{-1}(x)$:

$$G^{-1}(x) = 2.98583 \pm 0.0000497166\sqrt{3.60684 \cdot 10^9 - 2.0114 \cdot 10^9 x}$$

A função criada (vide programa), consiste em transformar cada um dos x_i elementos de uma sequência de *VanDerCorput* em $G^{-1}(x_i)$, e retornar uma nova lista *quasi-random*.

5.2 Resultados obtidos

Beta

Tempo de computação: 2.51 segundos.

$\epsilon = 0.4681088501408622\%$ (lembrando que ϵ é a estimação do erro, assumindo distribuição normal).

Variância amostral = 0.044354512807987204.

$n = 7776$. (lembrando que n cresce a uma taxa de $2\sqrt{10}$ vezes).

$\hat{\gamma} = 0.7853107345425413$ (lembrando que $\hat{\gamma}$ é a estimação da integral de $f(x)$).

VanDerCorput - $g(x)$:

Tempo de computação: 0.00097 segundos.

$\epsilon = 0.59559405970736\%$ (lembrando que ϵ é a estimação do erro, assumindo distribuição normal).

Variância amostral = 0.000664846013250364.

$n = 72$. (lembrando que n cresce a uma taxa de $2\sqrt{10}$ vezes).

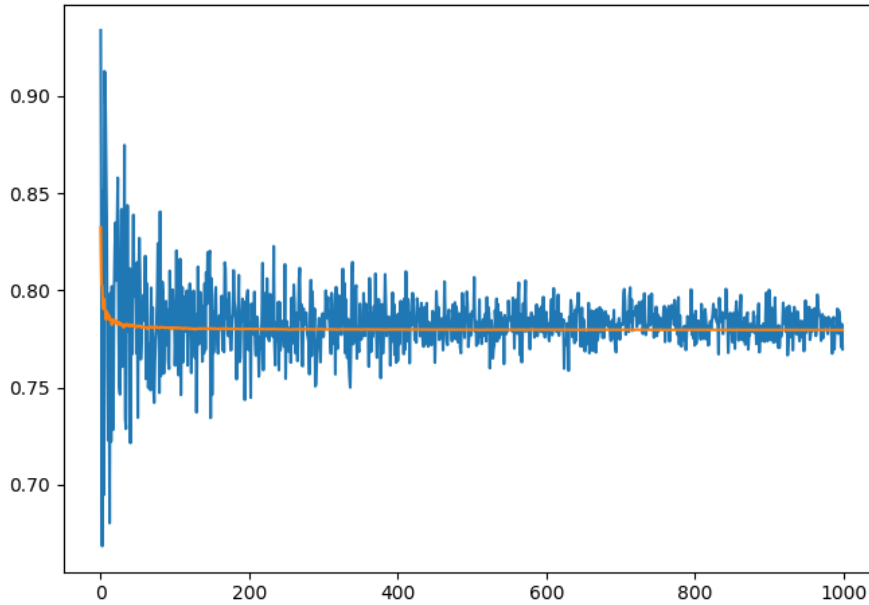
$\hat{\gamma} = 0.783542216119383$ (lembrando que $\hat{\gamma}$ é a estimação da integral de $f(x)$).

Esse resultado me espantou. Não há sombra de dúvidas para a maior do eficiência do *quasi-random* para este método, basta ver os resultados (a comparação ideal seria utilizar o gerador de distribuição $g(x)$ aleatório para encontrar os resultados do *importance sampling* aleatório). Não apenas em relação ao gerador

Beta e o método aleatório, mas também em relação a todos os outros métodos apresentados. Vejamos os gráficos de convergência para reforçar a conclusão sobre esse resultado:

Valor de $\hat{\gamma}$ até $n = 1000$:

laranja: *quasi-random*; azul: uniforme.



6 Control Variance

O ultimo método, como os demais, também seguiu a mesma implementação do EP 2, apenas com o gerador uniforme, trocado pelo *quasi-random*. Vejamos os resultados obtidos:

Uniforme

Tempo de computação: 2.257 segundos.

$\epsilon = 0.473428652971247\%$ (lembrando que ϵ é a estimacão do erro, assumindo distribuição normal).

Variância amostral = 0.04536837112649993.

$n = 7776$. (lembrando que n cresce a uma taxa de $2\sqrt{10}$ vezes).

$\hat{\gamma} = 0.7852965541990419$ (lembrando que $\hat{\gamma}$ é a estimacão da integral de $f(x)$).

VanDerCorput - $g(x)$:

Tempo de computação: 0.005983114242553711 segundos.

$\epsilon = 1.2057739535976042 \cdot 10^{-05}\%$ (lembrando que ϵ é a estimacão do erro, assumindo distribuição normal).

Variância amostral = $4.385380947269368 \cdot 10^{-15}$.

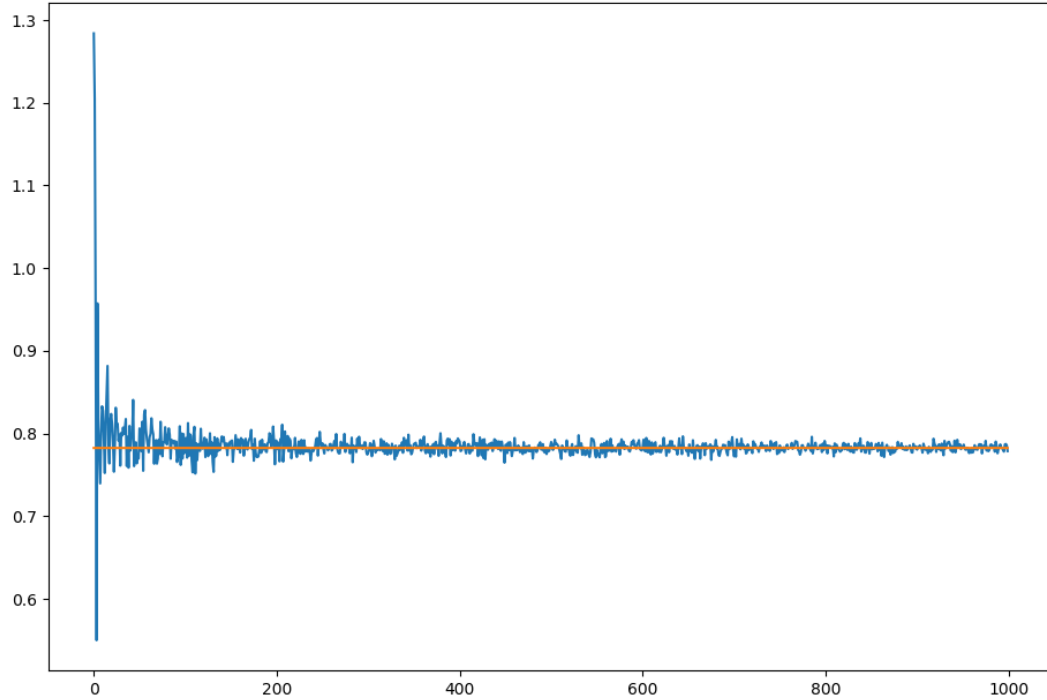
$n = 2$. (lembrando que n cresce a uma taxa de $2\sqrt{10}$ vezes).

$\hat{\gamma} = 0.7824294083396494$ (lembrando que $\hat{\gamma}$ é a estimacão da integral de $f(x)$).

Vejamos primeiramente o gráfico:

Valor de $\hat{\gamma}$ até $n = 1000$:

laranja: *quasi-random*; azul: uniforme.



O resultado pode parecer surpreendente, porém, pela forma como funciona esse método, o que acontece é que não importa o n , se usarmos o *quasi-random*. Na verdade o fator que afeta o resultado dessa estimativa é somente a precisão de $\int_0^1 \phi(x)$ (lembrando que $\phi(x)$ é a função de controle que se assemelha a $f(x)$). Minha suposição é de que $\phi(x)$ se assemelha tanto a $f(x)$ que a variância e covariância de $f(x)$ e $\phi(x)$ aproximam $\hat{\gamma}$ de $\int \phi(x)dx$ para um n muito pequeno, isso é: 1. Assim, todo o cálculo depende então da precisão de $\int \phi(x)dx$.

Isso me leva a supor que, caso não seja possível encontrar uma função alternativa $\phi(x)$ tão próxima de $f(x)$, esse resultado não seria tão bom.

7 Consideração final

Pelos resultados obtidos, é seguro afirmar que, ao menos para a função em questão os geradores *quasi-random* produzem resultados com precisão muito melhor, de forma geral. É difícil tirar conclusões do que aconteceria caso usássemos outras funções. Mas minha melhor suposição é de que, o método *Hit-or-Miss* e o *Importance Sampling* seriam os que produziram sempre os melhores resultados, se comparado ao uso dos geradores aleatórios convencionais.